
L'expérience COMPASS au CERN

Mesure de la polarisation des gluons

- Le spin du nucléon
- La mesure de ΔG , contribution du spin des gluons
- Chambres à dérives et détecteurs Micromégas dans COMPASS
- Perspectives pour 2002

La structure du nucléon

Quarks QCD :

$$N(p,n) = q + \bar{q} + g$$

avec $q = u, d, s$

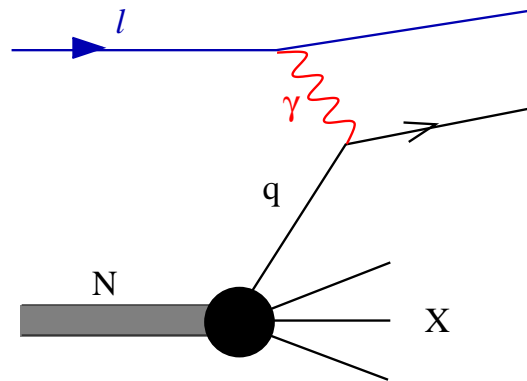
- Contribution des quarks, des gluons, à l'impulsion ?
- Contribution des quarks, des gluons, au spin ?

Règle de somme du moment angulaire :

$$\frac{1}{2} = \frac{1}{2} \Delta \Sigma + \Delta G + L_z$$

- $\Delta \Sigma = n_q^\uparrow - n_q^\downarrow$ contribution du spin des quarks
- $\Delta G = n_g^\uparrow - n_g^\downarrow$ contribution du spin des gluons
- L_z moment orbital

Sonde du nucléon: Diffusion profondément inélastique



Fonctions de structure

- non polarisées F_1 et F_2 ← impulsion
- polarisées g_1 et g_2 ← spin

mesure de $\int g_1(x) dx$

⇓

$$a_0 = \Delta\Sigma - 3\frac{\alpha_s(Q^2)}{2\pi}\Delta G(Q^2)$$

Valeur théo. Ellis-Jaffe

$$a_0 = \Delta\Sigma = 0.675 \pm 0.024$$

(hyp. $\Delta s = 0$, ΔG négligeable)

Valeur exp. SLAC-CERN-DESY

$$a_0 = 0.19 \pm 0.05 \pm 0.04$$

Motivations de la mesure de ΔG

La mesure de ΔG est nécessaire

- en tant que contribution directe au spin du nucléon;
- pour compléter la mesure de $\Delta\Sigma$ via a_0 ;
- comme explication à la violation de la règle de somme d'Ellis-Jaffe

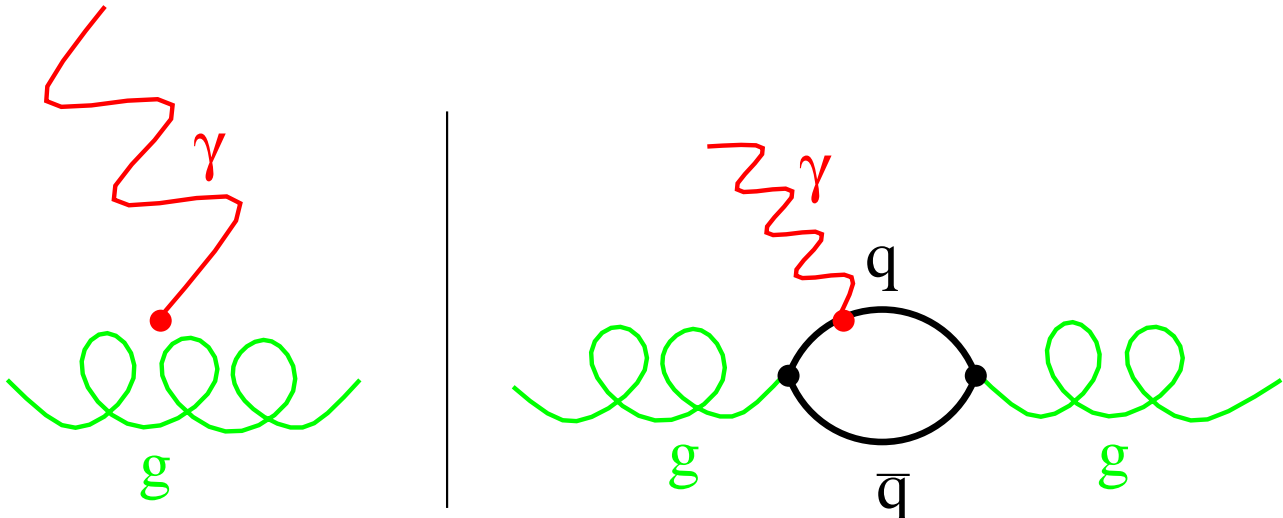
Mesure indirecte:

- Analyse QCD de $g_1(x, Q^2)$ (équations DGLAP)

Mesure *directe*:

- Diffusion lp
charme ouvert
hadrons à grand P_T (impulsion transverse)
- Diffusion pp

Equation DGLAP (Dokshitzer, Gribov, Lipatov, Altarelli, Parisi)

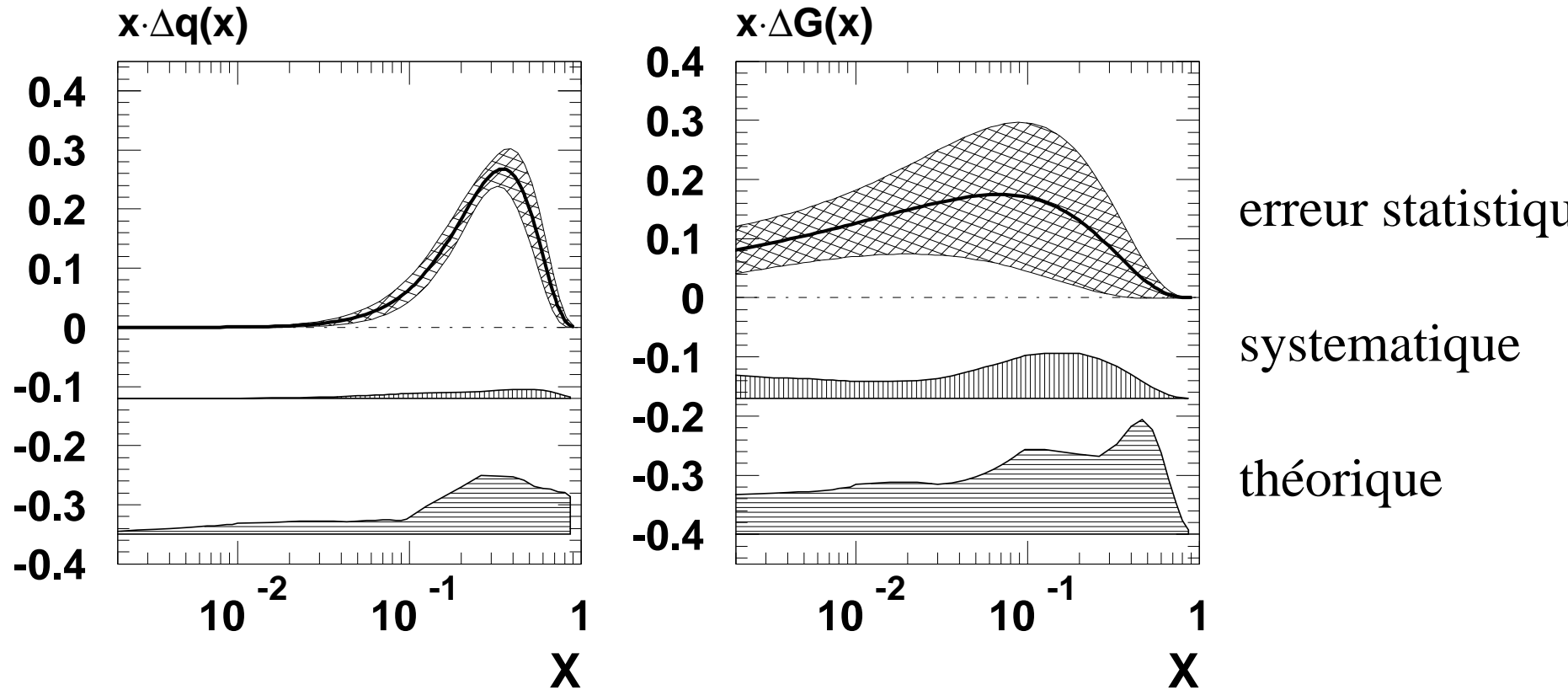


$$\frac{\partial \Delta q(x, Q^2)}{\partial \ln(Q^2)} \longrightarrow \Delta G(x, Q^2)$$

avec $\Delta \Sigma = \int_0^1 \Delta q(x, Q^2) dx$
 et $\Delta G(Q^2) = \int_0^1 \Delta G(x, Q^2) dx$

$$\frac{\partial}{\partial \ln Q^2} \begin{pmatrix} \Delta q(x) \\ \Delta G(x) \end{pmatrix} = \frac{\alpha_s}{2\pi} \begin{pmatrix} P_{qq} & n_f \cdot p_{qg} \\ P_{gq} & P_{gg} \end{pmatrix} \otimes \begin{pmatrix} \Delta q(x) \\ \Delta G(x) \end{pmatrix}$$

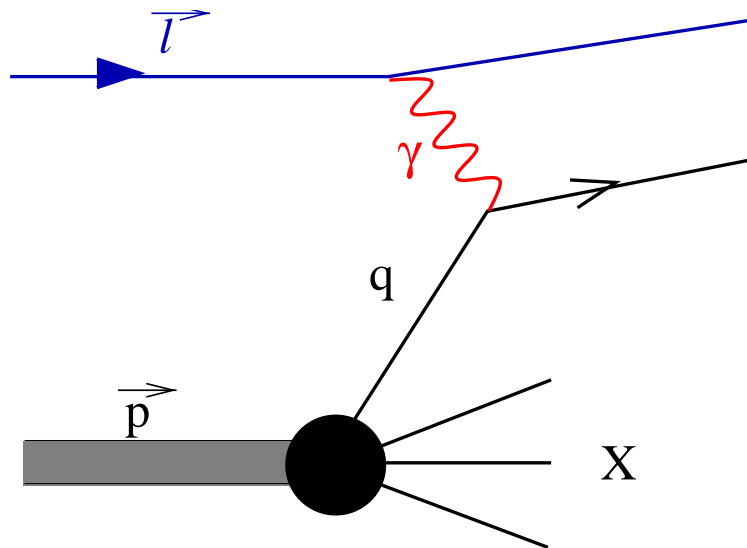
analyse QCD de $g_1(x, Q^2)$



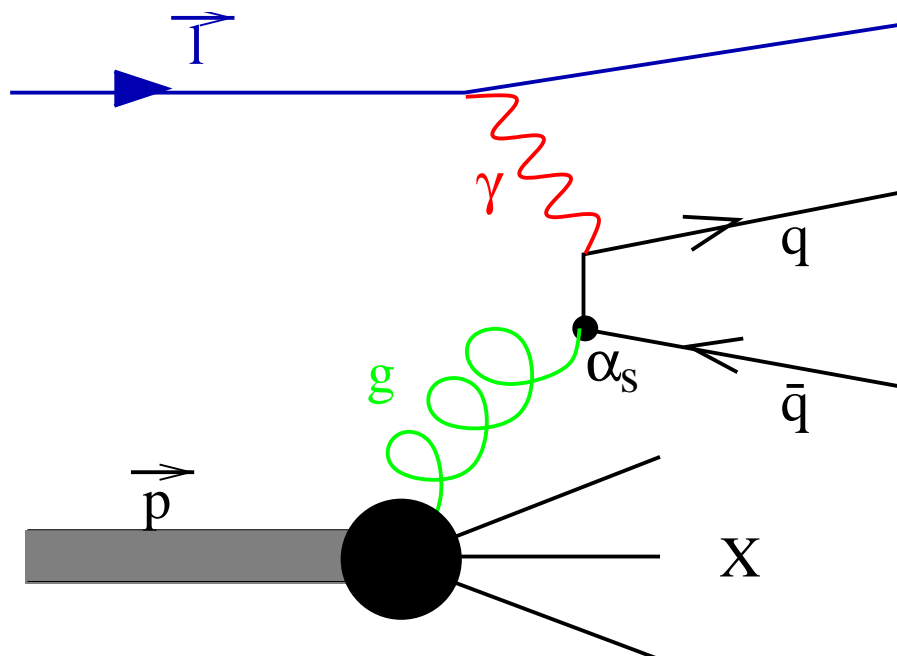
$$\Delta G = 0.99 \begin{matrix} +1.17 \\ -0.31 \end{matrix} (stat) \begin{matrix} +0.42 \\ -0.22 \end{matrix} (syst) \begin{matrix} +1.43 \\ -0.45 \end{matrix} (th) \quad (Q^2 = 1 \text{ GeV}^2)$$

Diffusion lp (ou γp) polarisée

Diffusion polarisée sur un quark $\Rightarrow \Delta\Sigma$

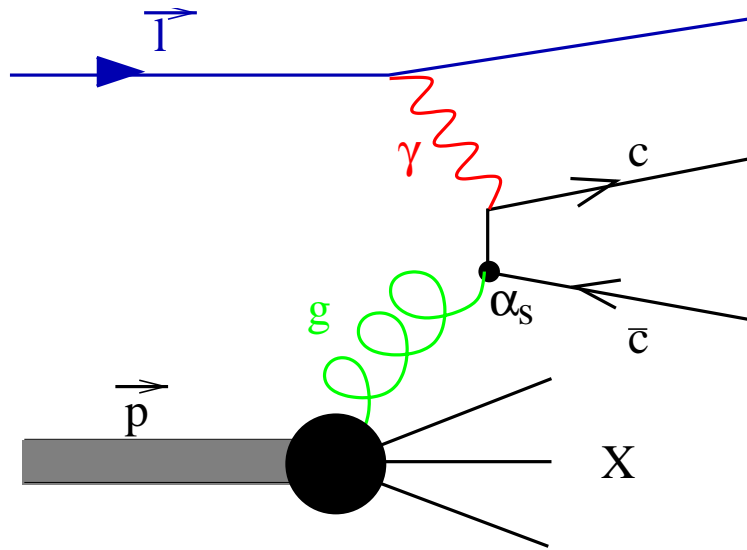


Diffusion polarisée sur un gluon (fusion photon-gluon) $\Rightarrow \Delta G$



Asymétrie de spin $A_{\gamma p}^{ll} = \frac{\sigma^{\downarrow\uparrow} - \sigma^{\uparrow\uparrow}}{\sigma^{\downarrow\uparrow} + \sigma^{\uparrow\uparrow}}$

Fusion photon-gluon production de charme ouvert

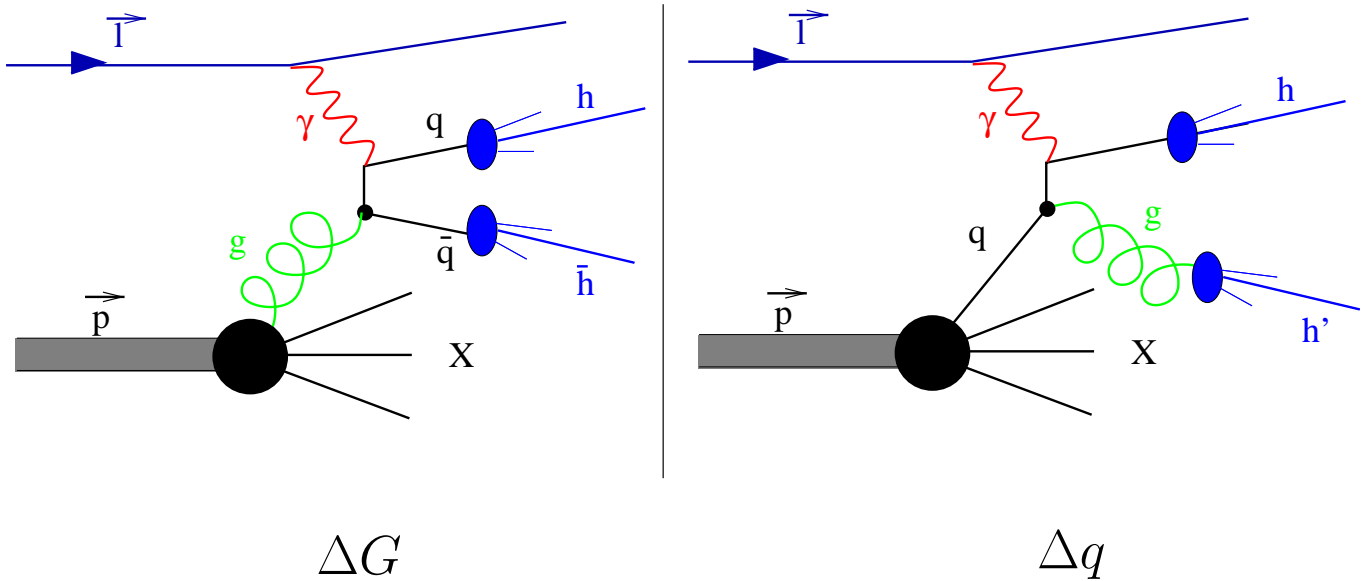


Etat final: détection d'un hadron *charmé*

$$A_{\gamma p}^{ll} = \left\langle \frac{\Delta G}{G}(x_g) a_{\gamma g \rightarrow c\bar{c}}^{ll} \right\rangle$$

Fusion photon-gluon

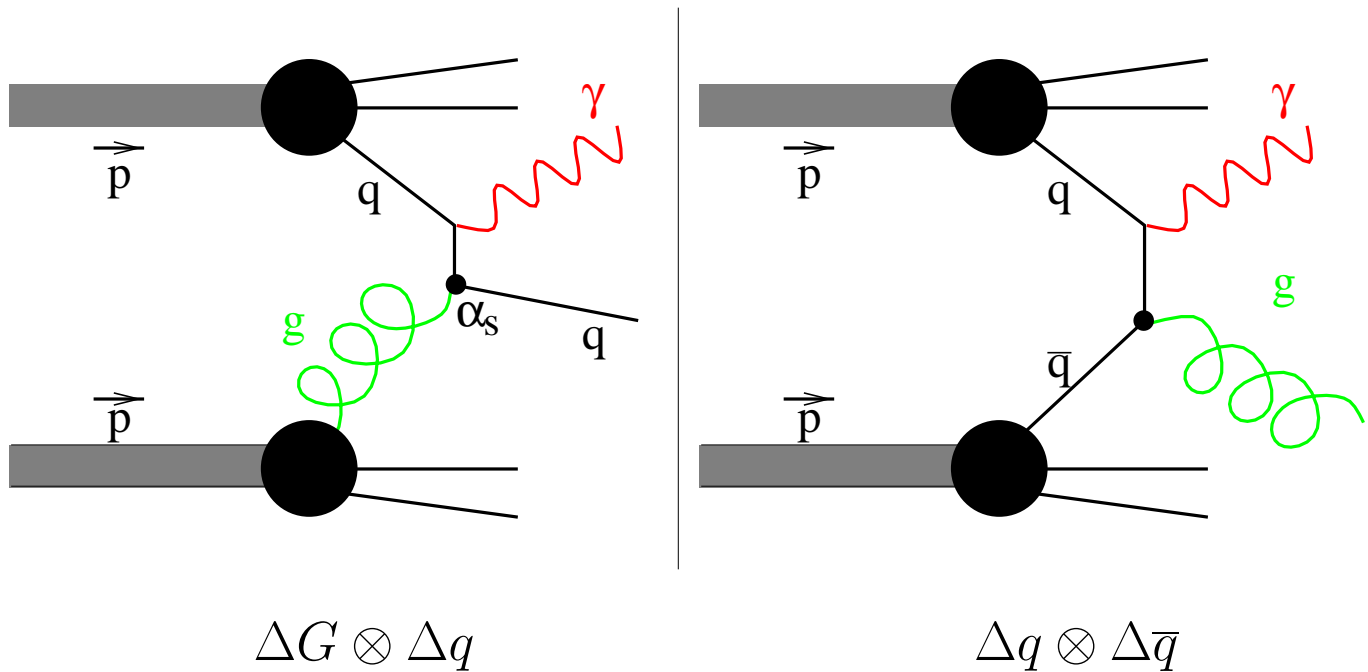
Hadrons à grand P_T



Etat final: détection de deux hadrons à grand P_T

$$A_{\gamma p}^{ll} = \left\langle \frac{\Delta G}{G}(x_g) a_{\gamma g \rightarrow q\bar{q}}^{ll} \right\rangle + \left\langle \frac{\Delta q}{q}(x_q) a_{\gamma q \rightarrow qg}^{ll} \right\rangle$$

Diffusion pp (RHIC)



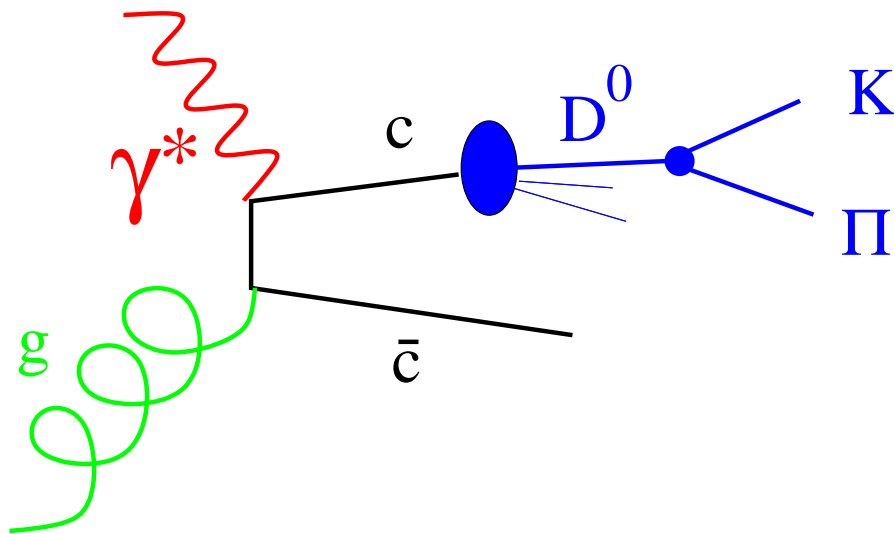
Etat final: détection du γ et du *jet*

$$\begin{aligned}
 A_{pp}^{ll} = & \left\langle \frac{\Delta q}{q}(x_q) \otimes \frac{\Delta G}{G}(x_g) a_{qg \rightarrow \gamma q}^{ll} \right\rangle \\
 & + \left\langle \frac{\Delta q}{q}(x_q) \otimes \frac{\Delta \bar{q}}{\bar{q}}(x_{\bar{q}}) a_{q\bar{q} \rightarrow \gamma g}^{ll} \right\rangle
 \end{aligned}$$

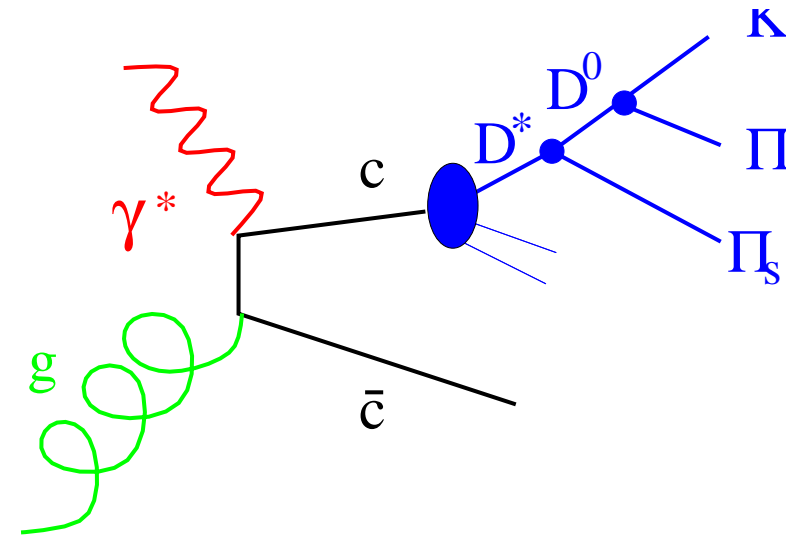
Mesure de ΔG dans COMPASS

Production de charme *ouvert*

Production de D^0



Production de D^*



Asymétrie expérimentale

$$A_{\text{exp}} = \frac{N^{\uparrow\downarrow} - N^{\uparrow\uparrow}}{N^{\uparrow\downarrow} + N^{\uparrow\uparrow}} = \frac{P_b P_t f}{1 + B/S} D A_{\gamma p}^{ll}$$

avec

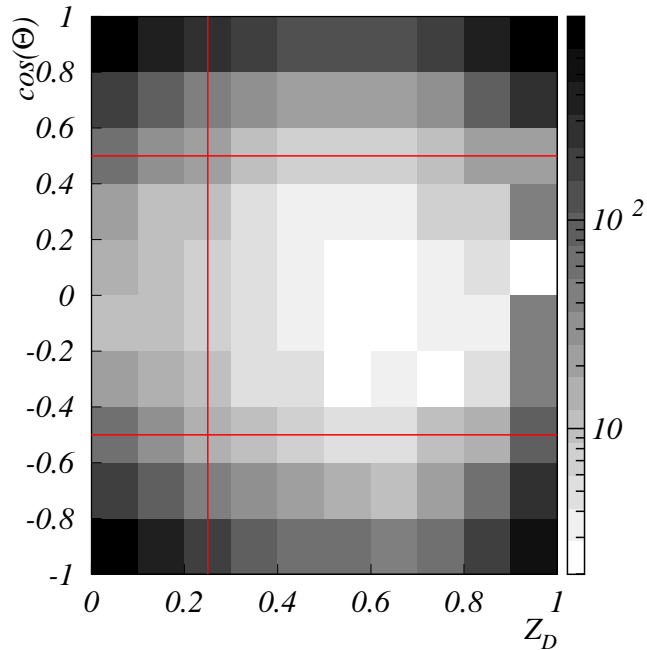
$$A_{\gamma p}^{ll} = \left\langle \frac{\Delta G}{G}(x_g) \times a_{\gamma^* g \rightarrow c\bar{c}}^{ll} \right\rangle$$

- P_b : polarisation du faisceau
- P_t : polarisation de la cible
- f : facteur de dilution
- D : facteur de dépolarisation
- B/S : rapport Bruit/Signal

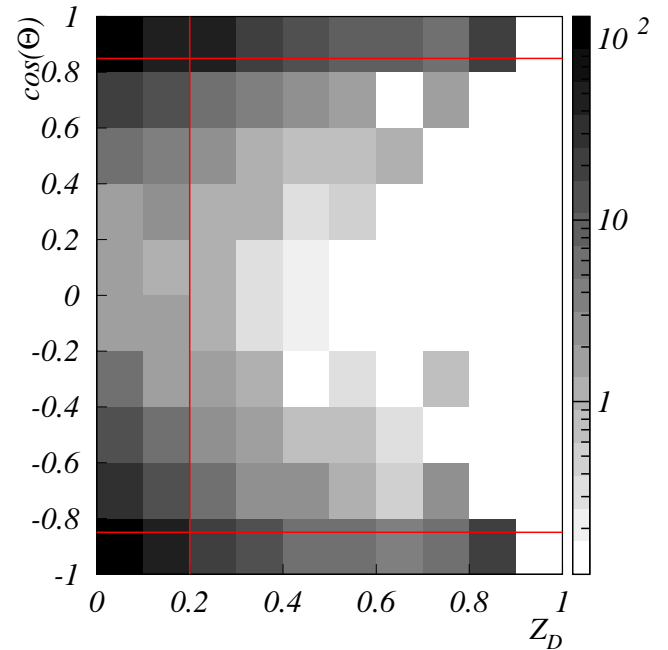
Erreur statistique sur $\Delta G/G$

$$\delta\left(\frac{\Delta G}{G}\right) = \frac{1}{P_b P_t f} \frac{1}{D \langle a_{\gamma^* g \rightarrow c\bar{c}}^{ll} \rangle} \frac{1}{\sqrt{S}} \sqrt{1 + \frac{B}{S}}$$

Rapport signal/bruit



B/S ($D^0 \rightarrow K\pi$)



B/S ($D^* \rightarrow K\pi\pi_s$)

avec:

- θ_K^* : Angle d'émission du K :
- z_D : Energie du D^0 /énergie du γ

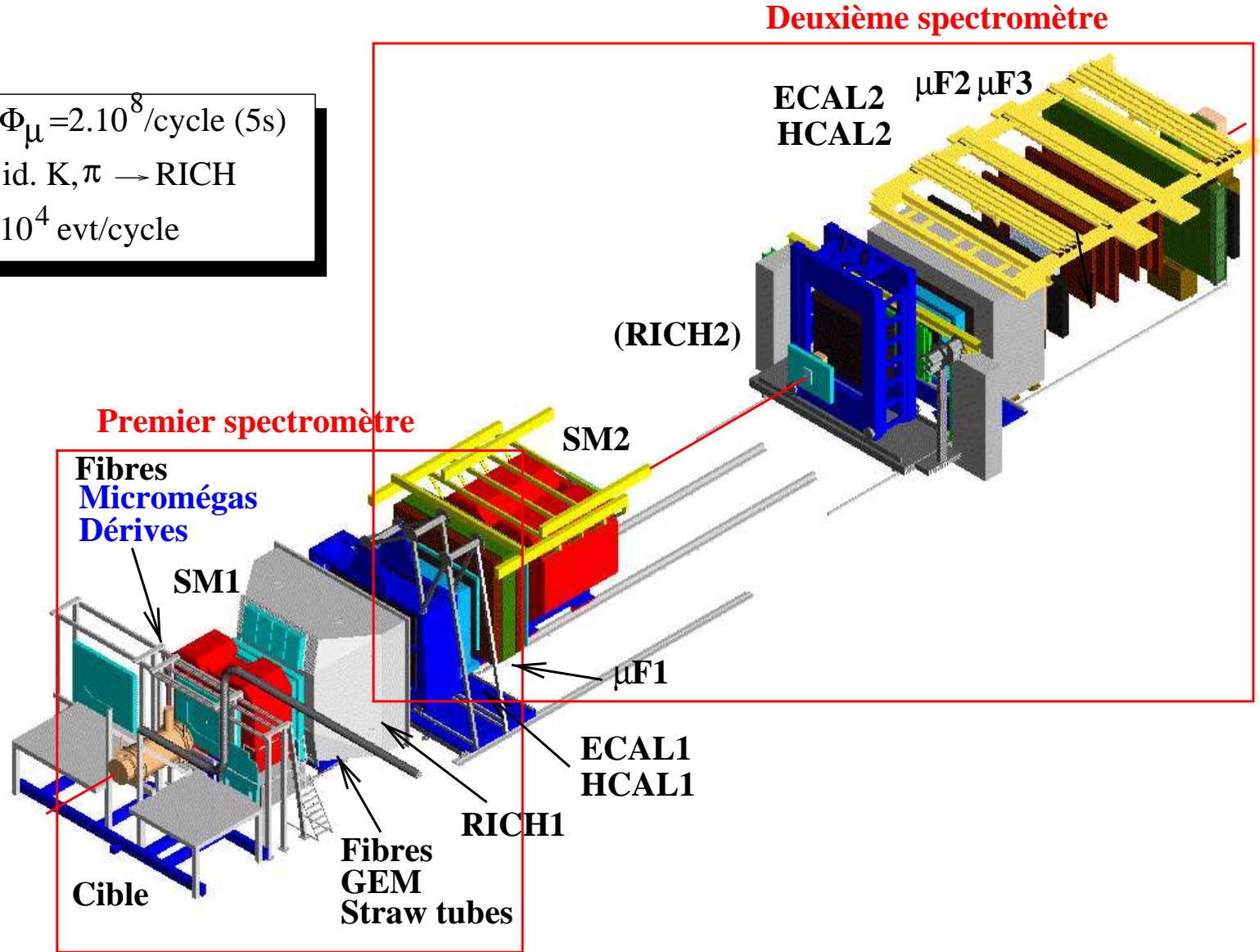
Coupages cinématiques

$D^0 \rightarrow K\pi$	$D^* \rightarrow K\pi\pi_s$
$ \cos \theta_K^* < 0.5$	$ \cos \theta_K^* < 0.85$
$z_D > 0.25$	$z_D > 0.2$

- Le spectromètre de COMPASS
- Caractéristiques et performances des **chambres à dérives**
- Caractéristiques et performances des **détecteurs Micromégas**

Le spectromètre de COMPASS

$\Phi_{\mu} = 2.10^8 / \text{cycle (5s)}$
id. $K, \pi \rightarrow \text{RICH}$
 10^4 evt/cycle



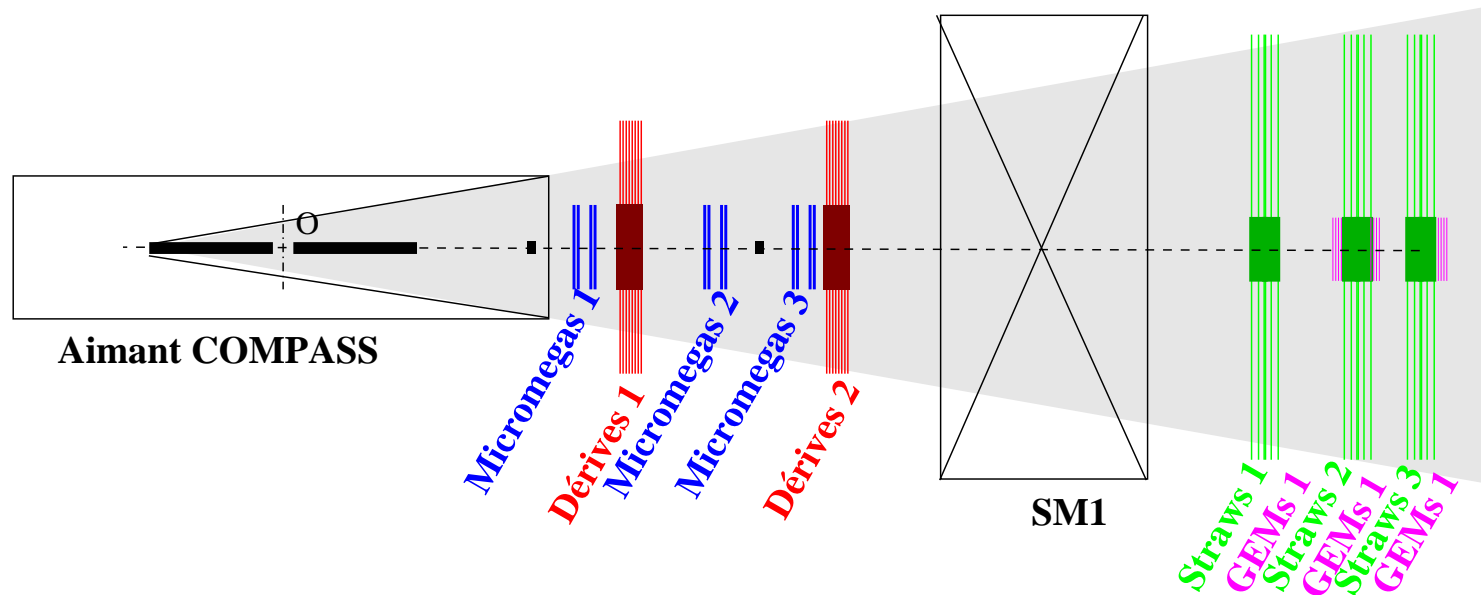
Environnement

- Acceptance $1200 \times 1200 \text{ mm}^2$
- $\Phi_{\text{tot}} \sim 150 \text{ MHz}$ (faisceau + interactions)
- Champ magnétique de fuite de SM1 et du solénoïde de la cible (jusqu'à 0.3 T)

Contraintes

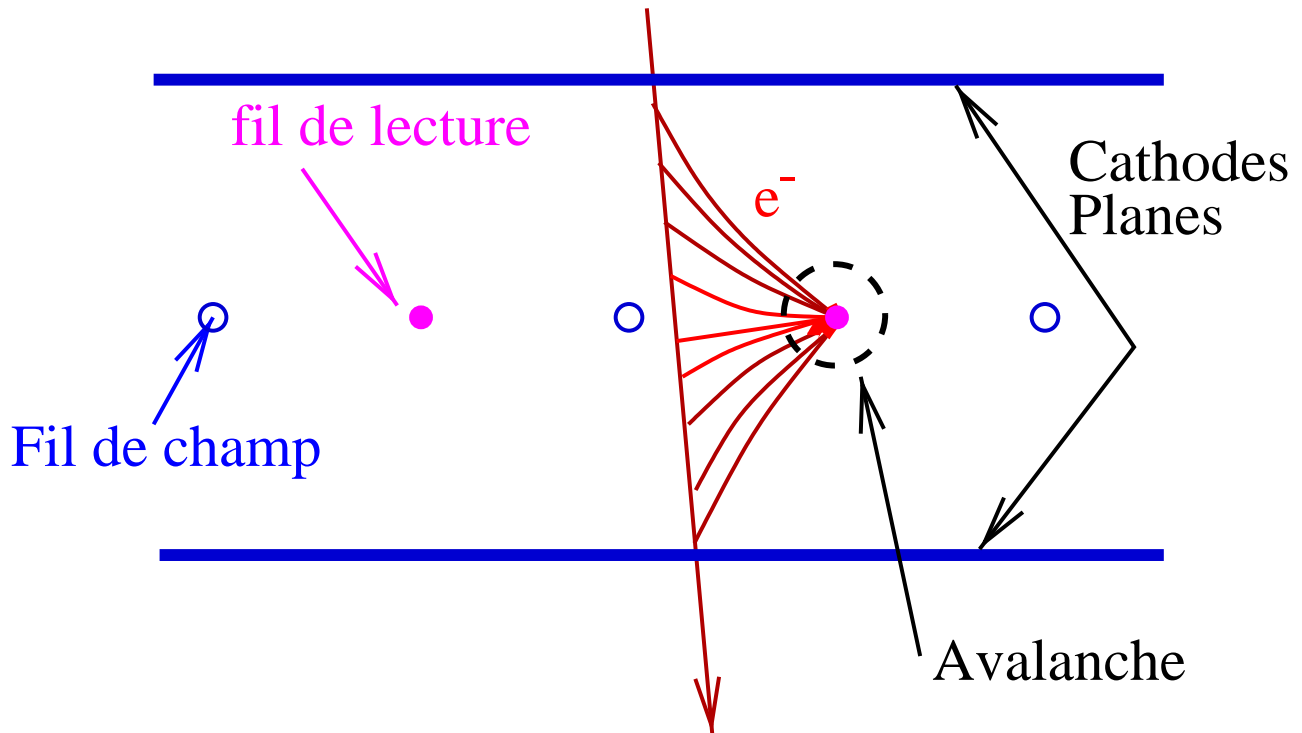
- Efficacité $\sim 100 \%$
- Résolution $< 100 \mu\text{m}$ sur la coordonnée x
- Quantité de matière dans l'acceptance la plus faible possible

Le premier spectromètre



	Sci-Fi	Micromégas	chambres à dérive
flux max (Hz/cm ²)	$5 \cdot 10^7$	$3 \cdot 10^5$	10^4
flux max (Hz/voie)		$2 \cdot 10^5$	$3 \cdot 10^5$
pas	400 μm	360 μm	7 mm
nombre de canaux		~ 14000	~ 3000
Zone morte		$\phi = 5 \text{ cm}$	$\phi = 40 \text{ cm}$

Fonctionnement d'une chambre à dérive



mesure du temps de dérive des *premiers* électrons



distance de la trajectoire au fil

Caractéristiques des chambres à dérive

Nombre de chambres

2×8 chambres \rightarrow 3×8 chambres

Configuration d'une station de chambres à dérive

	XX'	YY'	UU'	VV'
Inclinaison des Fils	H	V	$+20^\circ$	-20°

Géométrie

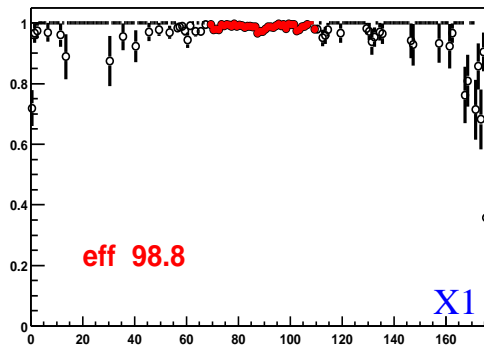
Longueur des fils	1.2 m
Cellule de dérive	7×8 mm ²

Point de fonctionnement

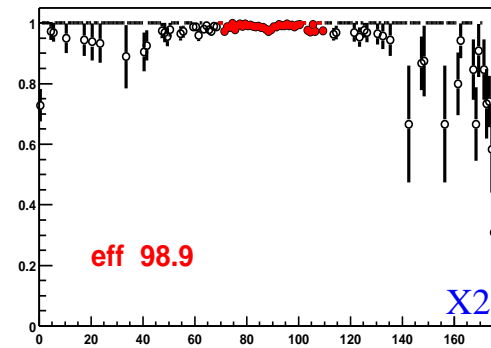
mélange gazeux	Ar/C ₂ H ₆ /CF ₄ 45/45/10
électronique frontale	ASD8 + TDC F1
Gain	$G \simeq 20000$
Seuil	25000 e ⁻

Efficacité de détection chambres à dérive

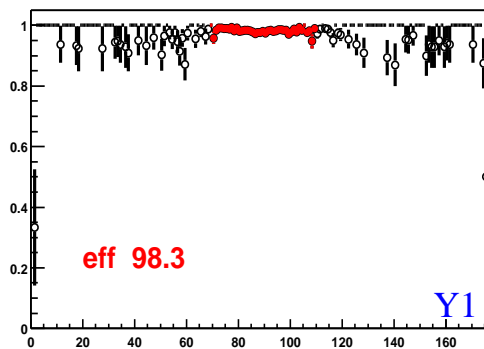
spDC1_DC01X1_wiRef_



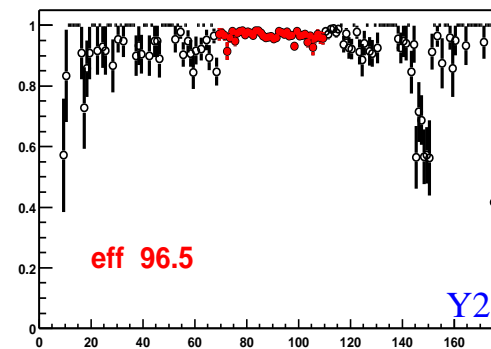
spDC1_DC01X2_wiRef_



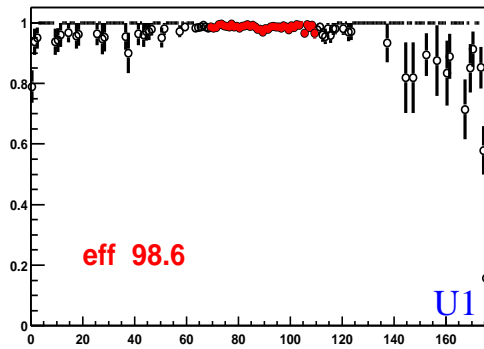
spDC1_DC01Y1_wiRef_



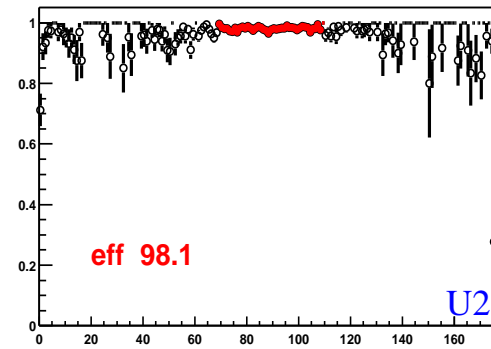
spDC1_DC01Y2_wiRef_



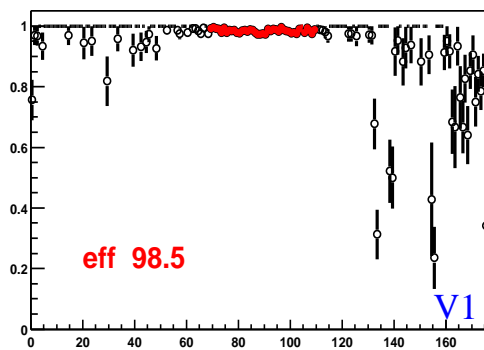
spDC1_DC01U1_wiRef_



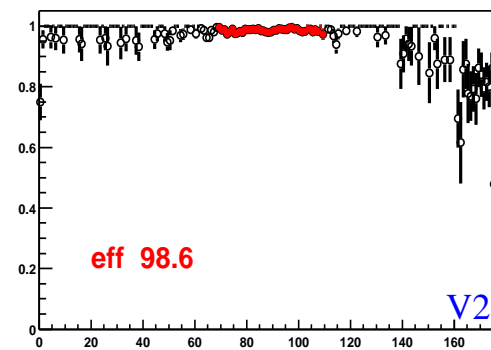
spDC1_DC01U2_wiRef_



spDC1_DC01V1_wiRef_

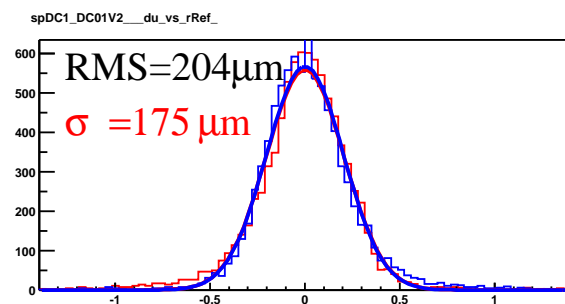
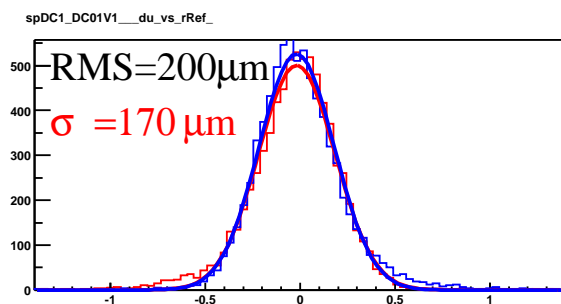
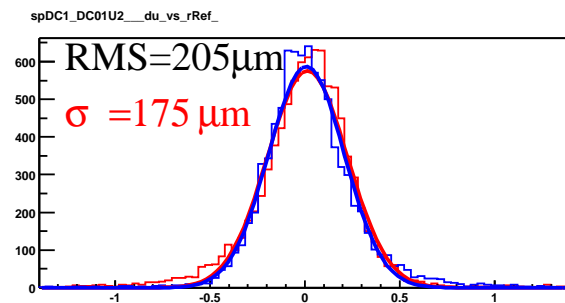
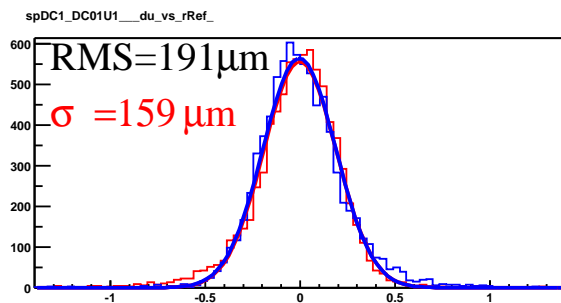
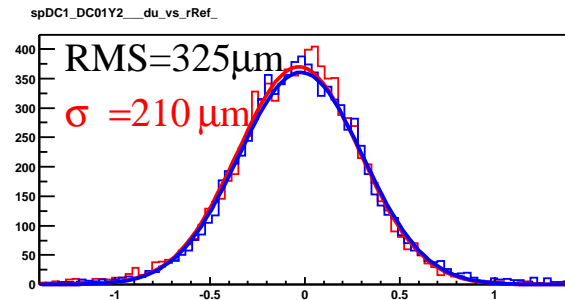
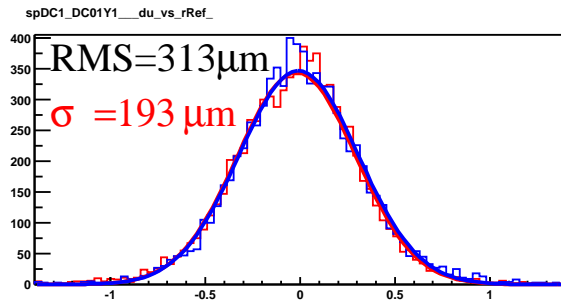
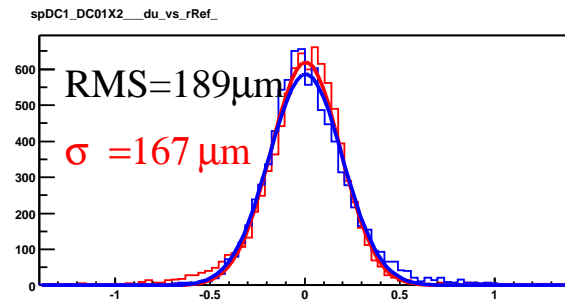
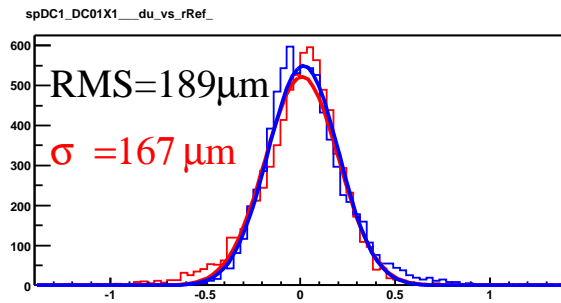


spDC1_DC01V2_wiRef_



Cercles noirs: pas de statistique

Résolution spatiale chambres à dérive



Résolutions sur toute la station

résolutions spatiales

$$\sigma_x = 73 \mu\text{m}$$

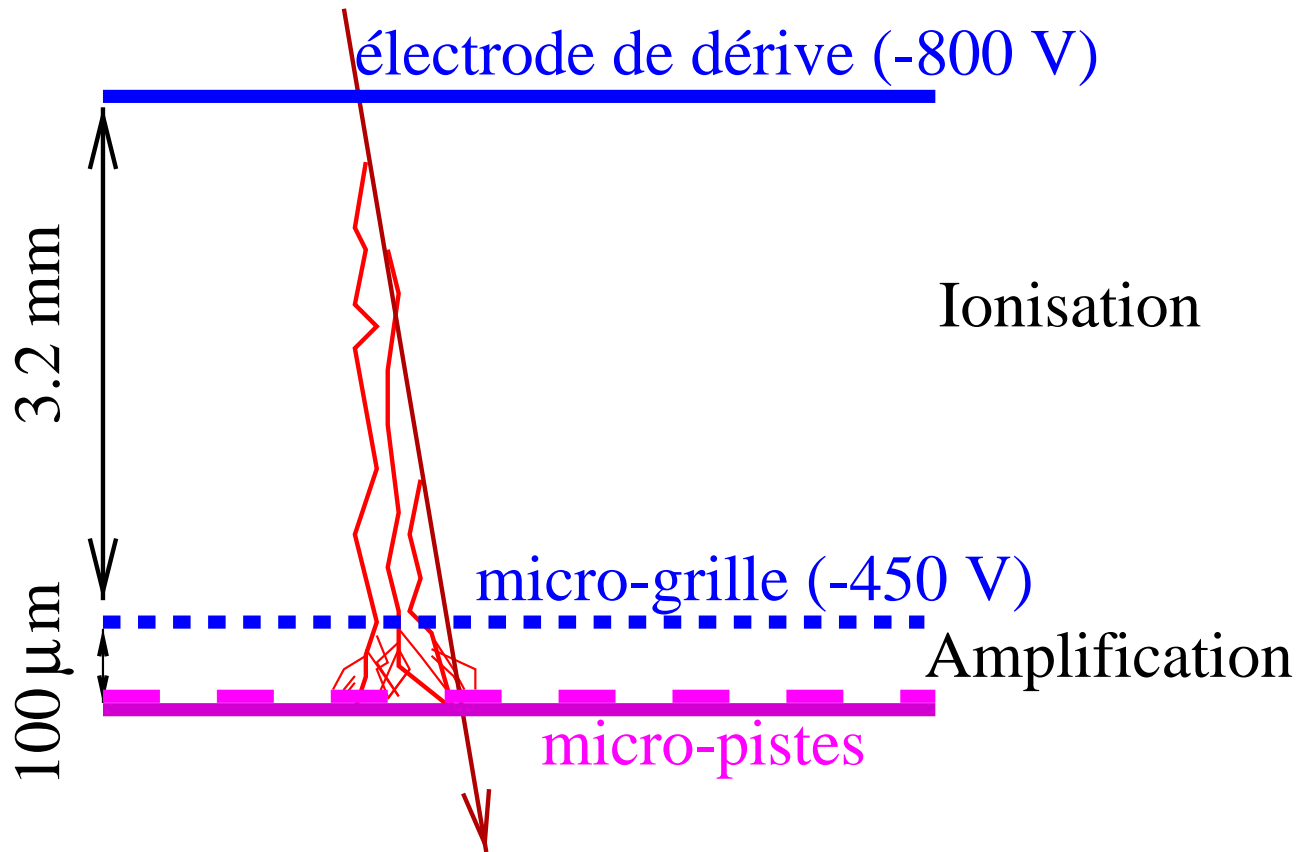
$$\sigma_y = 126 \mu\text{m}$$

résolutions angulaires

$$\sigma_{\theta x} = 4.0 \text{ mrad}$$

$$\sigma_{\theta y} = 5.1 \text{ mrad}$$

Fonctionnement d'une chambre Micromégas



mesure des temps de début et fin de signal



amplitude du signal/piste + temps moyen



résolution spatiale et temporelle

Caractéristiques des chambres Micromégas

Nombre de chambres

3 × 4 chambres

Configuration d'une station de chambres Micromégas

	<i>X</i>	<i>Y</i>	<i>U</i>	<i>V</i>
Inclinaison des pistes	H	V	+45°	-45°

Géométrie

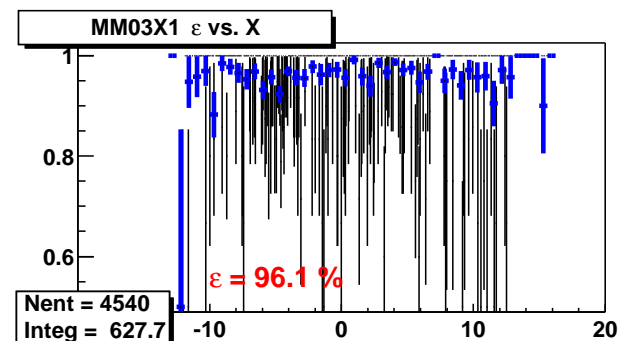
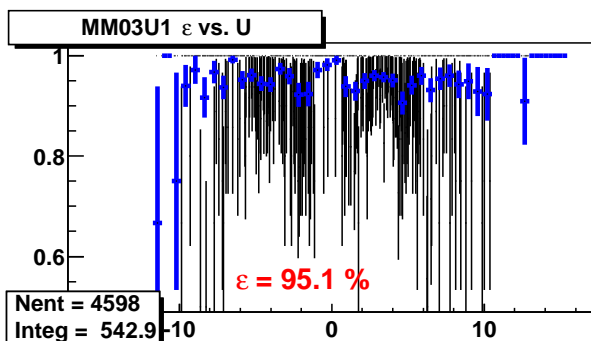
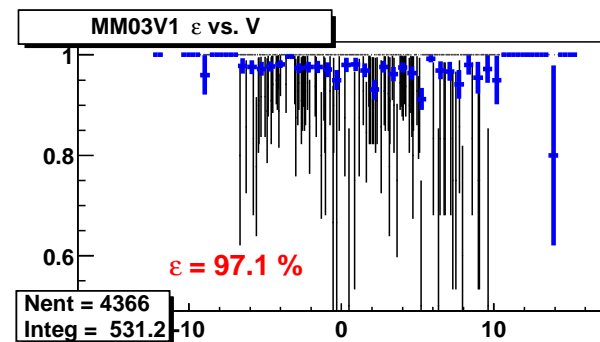
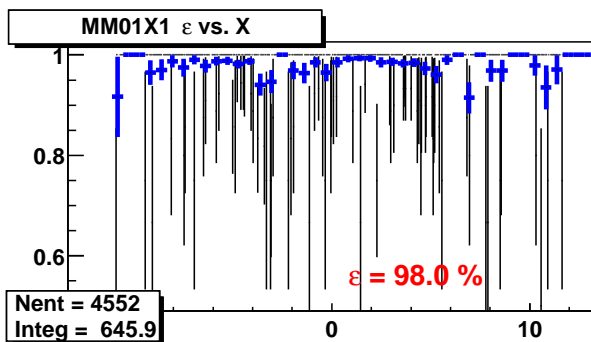
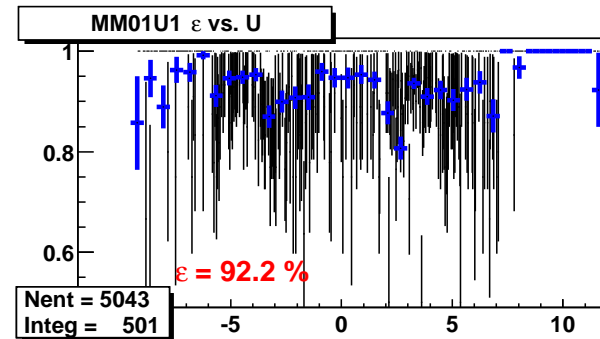
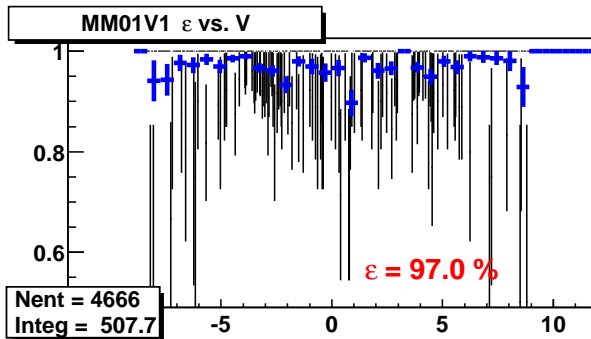
Longueur des pistes	40 cm
Pas	360 μm / 420 μm

Point de fonctionnement

mélange gazeux	Ne/C ₂ H ₆ /CF ₄ 79/11/10
électronique frontale	SFE16 + TDC F1
Gain	$G \simeq 4000$
Seuil	4000 e ⁻

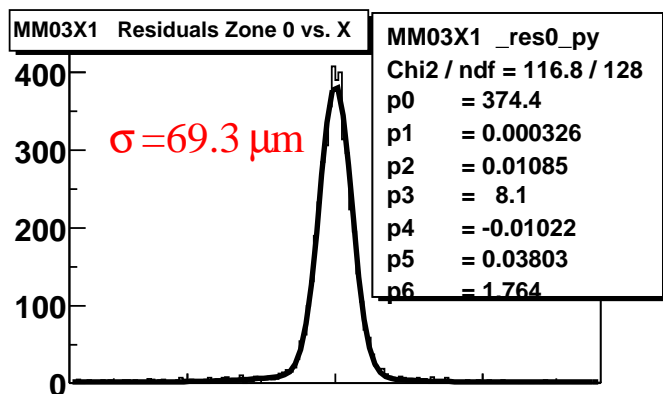
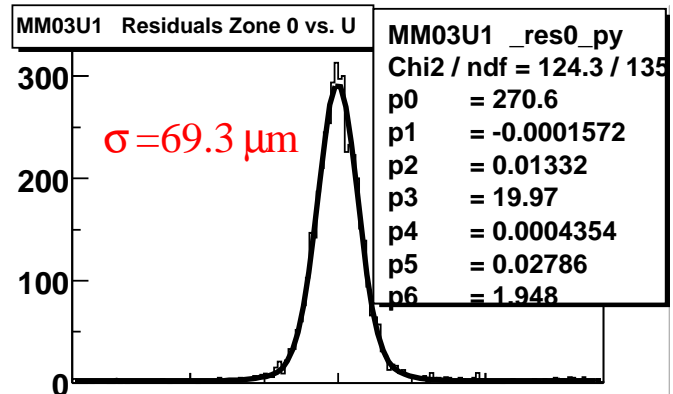
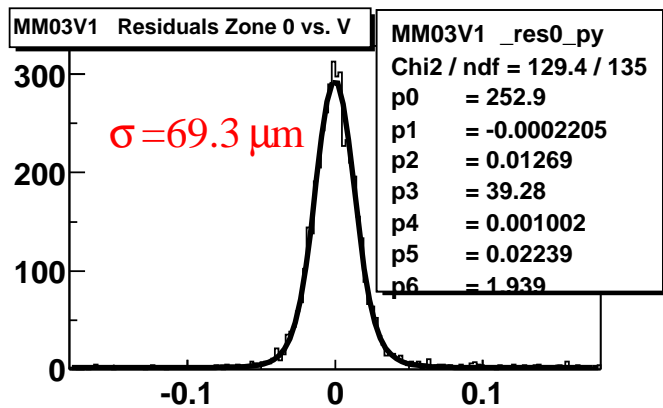
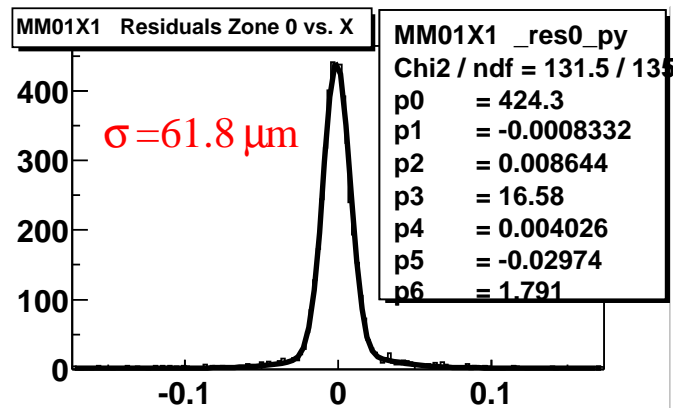
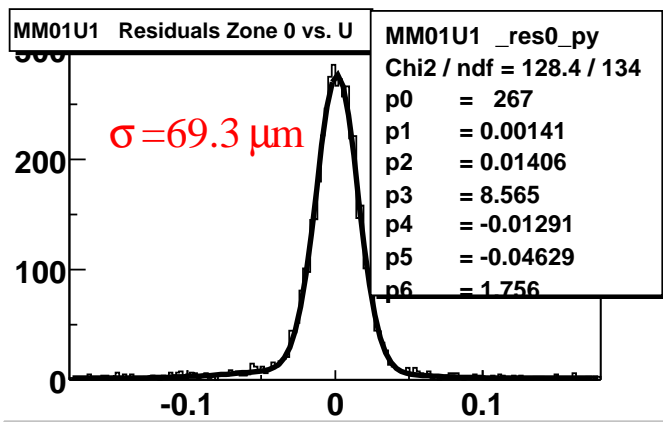
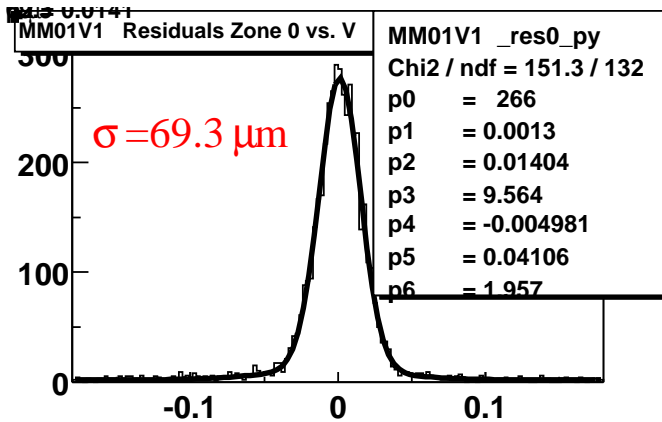
Efficacité de détection chambres Micromégas

RÉSULTATS PRÉLIMINAIRES



Résolution spatiale chambres Micromégas

RÉSULTATS PRÉLIMINAIRES

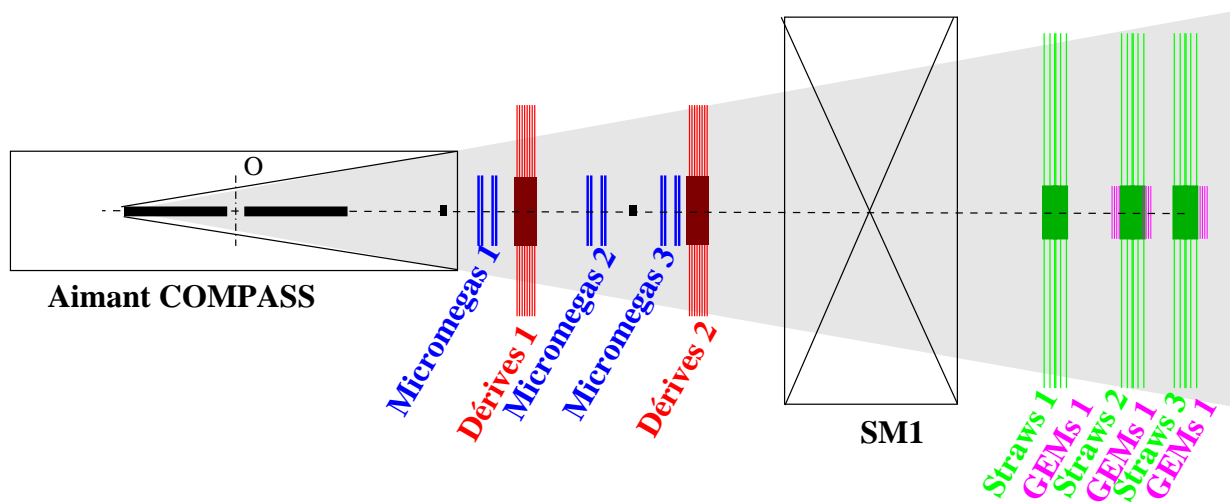


Perspectives

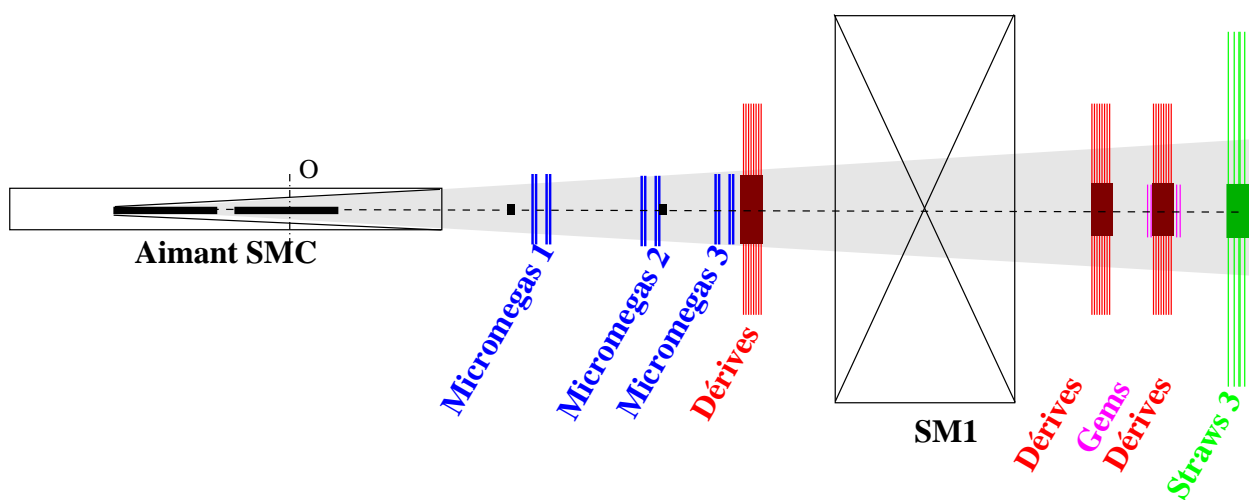
- Le dispositif expérimental en 2002
- conséquence sur l'acceptance
 - rapports d'acceptance bruts
 - pondération des événements
 - erreur statistique sur $\Delta G/G$

Modifications du premier spectromètre

Dispositif nominal



Dispositif 2002



Rapports d'acceptance *bruts*

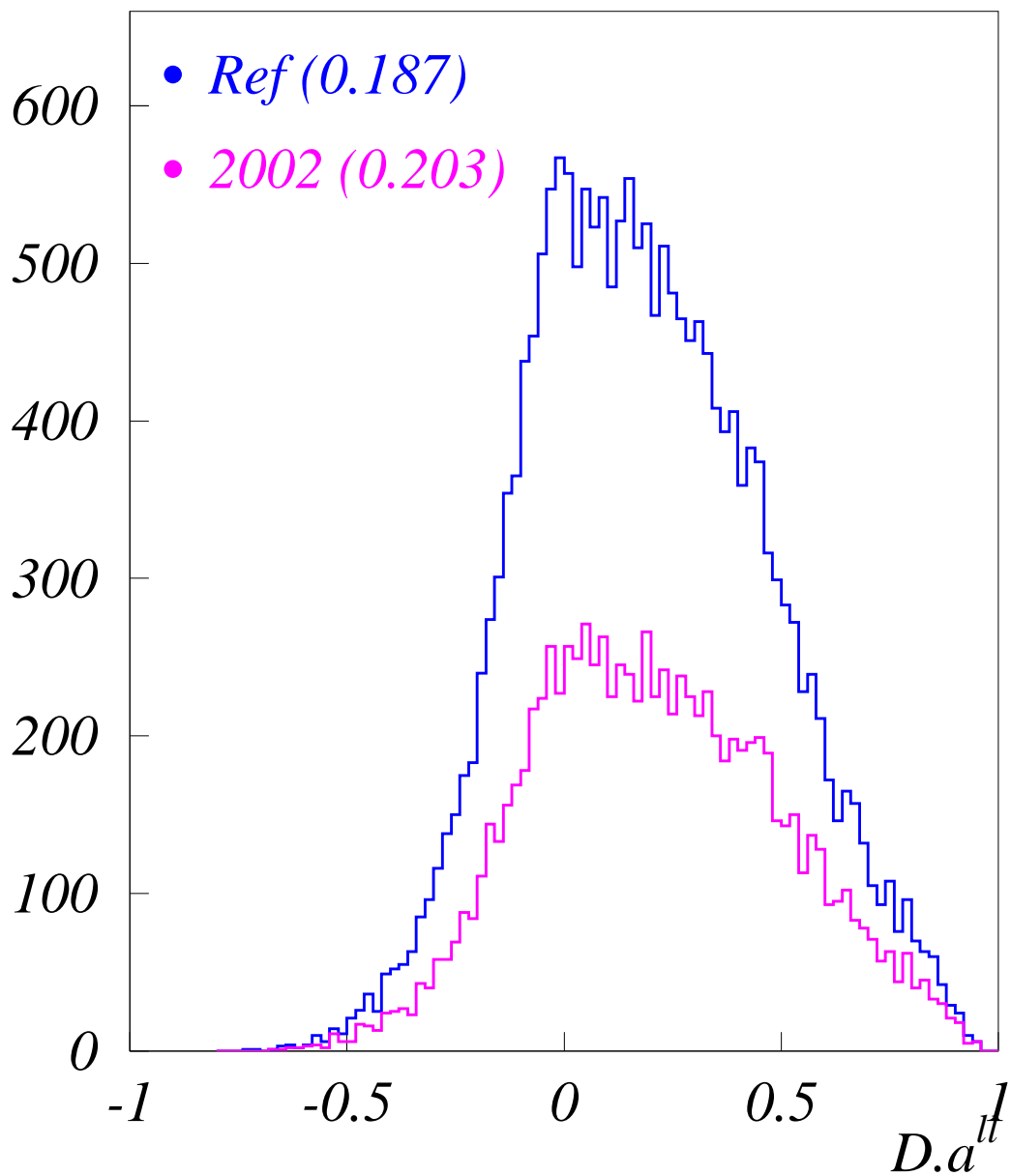
$$\alpha = \frac{(N^{\uparrow\downarrow} + N^{\uparrow\uparrow})}{(N^{\uparrow\downarrow} + N^{\uparrow\uparrow})_{\text{ref}}}$$

	$\alpha_{2002/\text{ref}}$	
	$D^0 \rightarrow K\pi$	$D^* \rightarrow K\pi\pi_s$
100 GeV	37 %	28 %
160 GeV	73 %	56 %
190 GeV	84 %	66 %

Asymétrie

$$A_{\text{exp}} = \frac{N^{\uparrow\downarrow} - N^{\uparrow\uparrow}}{N^{\uparrow\downarrow} + N^{\uparrow\uparrow}} = \frac{DP_b P_t f}{1 + B/S} \left\langle \frac{\Delta G}{G}(x_g) \times a_{\gamma^* g \rightarrow c\bar{c}}^{ll} \right\rangle$$

Distribution de $D \cdot a_{\gamma^* g \rightarrow c\bar{c}}^{ll}$ (événements D^0)



Pondération des événements [II]

Poids : $w = \frac{D a_{\gamma^* g \rightarrow q\bar{q}}^{ll}}{1 + B/S}$

(!) Paramétrisation de $D \cdot a_{\gamma^* g \rightarrow q\bar{q}}^{ll}(y, P_{T D^0}) \leftarrow$ MC

(!) Paramétrisation de $B/S(z_{D^0}, \cos \theta_K^*) \leftarrow$ mesure

Asymétrie pondérée

$$\tilde{A}_{\text{exp}} = \frac{\Sigma^{\uparrow\downarrow} w - \Sigma^{\uparrow\uparrow} w}{\Sigma^{\uparrow\downarrow} w^2 + \Sigma^{\uparrow\uparrow} w^2} \simeq P_b P_{tf} \left\langle \frac{\Delta G}{G} \right\rangle$$

\Rightarrow les coupures cinématiques ne sont plus nécessaires!

Erreur statistique pondérée

$$\delta \left(\frac{\Delta G}{G} \right)_w = \frac{1}{P_b P_{tf} \sqrt{\Sigma w^2}}$$

amélioration de $\delta(\Delta G/G)$ car:

$$\rightarrow \Sigma w^2 \geq (\Sigma w)^2$$

$\rightarrow a_{\gamma p \rightarrow c\bar{c}}^{ll}$ change de signe

Rapports d'acceptance pondérés

$$\tilde{\alpha} = \frac{(\Sigma^{\uparrow\downarrow} w^2 + \Sigma^{\uparrow\uparrow} w^2)}{(\Sigma^{\uparrow\downarrow} w^2 + \Sigma^{\uparrow\uparrow} w^2)_{\text{ref}}}$$

	$\tilde{\alpha}_{2002/\text{ref}}$	
	$D^0 \rightarrow K\pi$	$D^* \rightarrow K\pi\pi_s$
100 GeV	54 %	54 %
160 GeV	79 %	75 %
190 GeV	84 %	84 %

Erreur statistique sur $\Delta G/G$

	D^0	D^*	
2002 avec pondération	0.24	0.22	160 GeV
ref sans pondération	0.31	0.26	100 GeV ← proposal
ref avec pondération	0.21	0.19	160 GeV

Conclusion

1998-2000

Etudes de prototypes chambres à dérive et Micromégas \Rightarrow optimisation

2001

Prise de données de *commissioning*.

Décision de construction d'une troisième station DC.

2002

Prise de données ΔG avec un dispositif expérimental *réduit*